

三河湾の水質汚濁の数値実験

富士電機 金山寛 梅村健二郎

1. はじめに

近年、内湾の富栄養化は大きな社会問題になっているが、三河湾を例にとり、潮汐流計算と汚染拡散計算を行ない、富栄養化のメカニズムを推察し、あわせて、その対策への示唆を与えるようというのが、本報告の目的である。水質汚濁の指標としては、 $\text{C}_\text{O}_\text{D}$ （化学的酸素要求量）を採用した。この地域の最大二河川である矢作川と豊川からの負荷量が、どのように拡散していくか？また、光合成による内部生産は、どの程度のものか？これらの問題を通して、いわゆる「統量規制」を行なう際に有用な情報を与えたい。

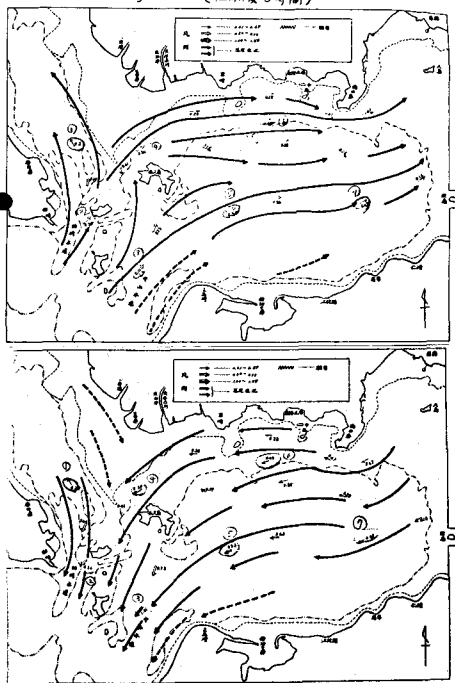
基礎方程式系の空間次元は、通常のように鉛直方向に平均化された二次元である。潮汐流の方程式系は J. J. Dronkers に従った。²⁾ $\text{C}_\text{O}_\text{D}$ 濃度の方程式においては、有機物の分解による $\text{C}_\text{O}_\text{D}$ の減少率を、村上に従い、⁸⁾ 濃度の 3 条に比例させた。また光合成による $\text{C}_\text{O}_\text{D}$ の増加率を、ここでは濃度に比例させている。これは自然水において、藻類の増殖がロジスティック曲線を示すという報告にヒントを得たもので、あながち無意味な仮説ではないと思われる。この結果、 $\text{C}_\text{O}_\text{D}$ の方程式は、成長と飽和を伴う非線形拡散方程式^{10), 12)} になっている。

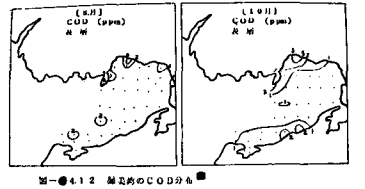
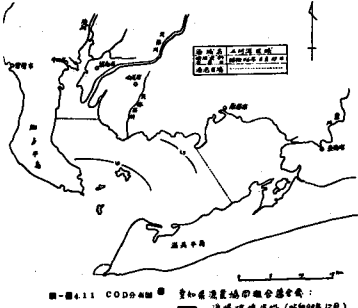
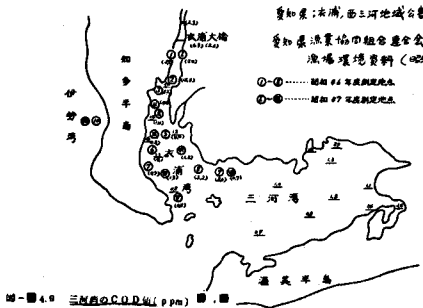
方程式系の近似解法は、J. J. Leendertse に従い、^{3), 4)} ADF 法を採用した。境界条件の入れ方もほぼ通常のとおりである。潮汐流の計算結果は、和田、宮池の結果と同様に、実測結果とおおむね良好な一致を示した。 $\text{C}_\text{O}_\text{D}$ の計算においては、河川からの負荷の影響と内部生产力の大きさを、鮮明に示したいがために、外海の濃度と同じ値を一様な初期値として計算した。その結果、十数日で、ほぼ現状に近い状態を回復することが判明した。

2. 実測結果

文献 5) から、三河湾の流況と $\text{C}_\text{O}_\text{D}$ の濃度分布の観測結果を引用する。高潮後 3 時間で下げ潮の最高速度になり、その時の流況図が、図-2.5 である。同様に、低潮後 3 時間で上げ潮の最高速度になり、その時の流況図が、図-2.6²⁾ である。流速の単位は %/sec。原典は、第 4 管区海上保安本部水路部：三河湾潮流観測報告（昭 36-5-11）。 $\text{C}_\text{O}_\text{D}$ 分布に関する種々の報告がある。図-4.9 の原典は、愛知県：衣浦、西三河地域公害防止計画案と愛知県漁業協同組合連合会：漁場環境資料（昭和 48 年 12 月）である。図-4.10 の原典は、文献 9)。 $\text{C}_\text{O}_\text{D}$ 濃度が渥美湾の湾央部で高い傾向が見られることに注意したい。図-4.11 の原典は、図-4.9 の 2 番目の原典と同じ。図-4.12 の原典は、愛知県水産試験場：昭和 46 年度全国漁場環境保全基礎調査報告書 渥美湾水域（昭和 47 年 5 月）。以上の報告のうち、比較的詳細な情報を探して、図-4.9 を我々は重視する。図-4.10 は非常に興味深い結果であるが、ここでは参考程度にとどめた。 $\text{C}_\text{O}_\text{D}$ 濃度の単位は PPM。

第 4 管区海上保安本部水路部：三河湾潮流観測報告（昭 36-5-11）
図-2.6 三河湾 流況図（低潮後 3 時間）





3. 基礎方程式系と初期、境界条件

3-1. 潮汐流²⁾

$$\left\{ \frac{\partial U}{\partial t} + U \frac{\partial U}{\partial x} + V \frac{\partial U}{\partial y} - fV + g \frac{\partial Z}{\partial x} + \frac{g}{HC^2} U (U^2 + V^2)^{\frac{1}{2}} = 0 \right. \quad \cdots \cdots \quad (3.1)$$

$$\left\{ \frac{\partial V}{\partial t} + U \frac{\partial V}{\partial x} + V \frac{\partial V}{\partial y} + fU + g \frac{\partial Z}{\partial y} + \frac{g}{HC^2} V (U^2 + V^2)^{\frac{1}{2}} = 0 \right. \quad \cdots \cdots \quad (3.2)$$

$$\left\{ \frac{\partial Z}{\partial t} + \frac{\partial (HZ)}{\partial x} + \frac{\partial (HV)}{\partial y} = 0 \right. \quad \cdots \cdots \quad (3.3)$$

ここで $H = h + z$, $f = 2\omega \sin \varphi$,

$U(x, y, t)$, $V(x, y, t)$: 鉛直方向に平均化された x 方向, y 方向の流速,

$z(x, y, t)$: 平均潮位面から測った潮位, $h(x, y)$: 平均潮位, ω : 地球自転の角速度,

φ : 緯度, g : 重力加速度, C : Chezy 係数。

初期条件: $z(x, y, 0) = U(x, y, 0) = V(x, y, 0) = 0$

境界条件: 外海との境界においては 潮位を与える。(開境界条件)

内陸との境界においては 境界に垂直な速度成分を 0 とする。(閉境界条件)

3-2. CODモデル^{4), 8)}

$$\frac{\partial (HP)}{\partial t} + \frac{\partial (HUP)}{\partial x} + \frac{\partial (HVP)}{\partial y} - \frac{\partial (HD_x \frac{\partial P}{\partial x})}{\partial x} - \frac{\partial (HD_y \frac{\partial P}{\partial y})}{\partial y} + K(P)HP + HS = 0 \quad \cdots \cdots \quad (3.4)$$

ここで $-K(P) = -\mu P^2 + \lambda$,

$P(x, y, t)$: COD濃度, $D_x(x, y, t)$, $D_y(x, y, t)$: 扩散係数, $-S$: 負荷量

μ : COD減少係数, λ : COD増加係数。

初期条件: $P(x, y, 0) = 0.7 \text{ ppm}$ (外海との境界における濃度)

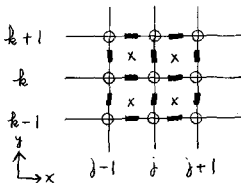
境界条件: 外海との境界においては濃度を与える。(開境界条件)

内陸との境界においては輸送がないとする。(閉境界条件)

ここで 有機物の分解による COD の減少率を 村上に従⁸⁾ 濃度の 3乗に比例させた。また光合成による COD の増加率を 濃度に比例させている。これは自然水において 藻類の増殖が ロジスティック曲線を示すという報告にヒントを得たもので あながち 無意味な仮説ではないと思われる。¹¹⁾

4. ADI法

3で述べた方程式系は種々の近似解法で解かれらるが¹⁾ここでは J.J. Leendertse にならい^{3), 4), 13)} ADI法を採用した。以下に 内点における計算法のみを示し、境界点における計算法は省略する。



\circ : z, C, P の定義点
 $-$: U, D_x の定義点
 \blacksquare : V, D_y の定義点
 x : h の定義点

Δx : X 方向の刻み幅
 Δy : Y 方向の刻み幅
 Δt : t 方向の刻み幅
 n : time step

あとは j, k, n に着目して次の値を定義する。

$$\bar{F}^x = \frac{1}{2} \left\{ F_{j+\frac{1}{2}, k}^n + F_{j-\frac{1}{2}, k}^n \right\}$$

$$S_x F = \frac{1}{\Delta x} \left\{ F_{j+\frac{1}{2}, k}^n - F_{j-\frac{1}{2}, k}^n \right\}$$

$$\bar{F} = \frac{1}{4} \left\{ F_{j+\frac{1}{2}, k+\frac{1}{2}}^n + F_{j+\frac{1}{2}, k-\frac{1}{2}}^n + F_{j-\frac{1}{2}, k+\frac{1}{2}}^n + F_{j-\frac{1}{2}, k-\frac{1}{2}}^n \right\}$$

$$S_{j+\frac{1}{2}} = \frac{2}{\Delta t} \left\{ F_{j, k}^{n+\frac{1}{2}} - F_{j, k}^n \right\}$$

$$F_+ = F_{j, k}^{n+\frac{1}{2}}, F_- = F_{j, k}^{n-\frac{1}{2}}$$

$$\bar{F}^y = \frac{1}{2} \left\{ F_{j, k+\frac{1}{2}}^n + F_{j, k-\frac{1}{2}}^n \right\}$$

もに関しても
定義される。

4-1. 潮汐流^{3), 13)}

前半. $S_{j+\frac{1}{2}} U + U_+ S_x U + \bar{V}_+ S_y U - f \bar{V} + g S_x z_+ + g U \frac{(U^2 + \bar{V}^2)^{\frac{1}{2}}}{(\bar{h} + \bar{z}_+) (\bar{C})^2} = 0$ --- (4.1)

$$S_{j+\frac{1}{2}} z_+ + S_x \left\{ (\bar{h} + \bar{z}_+) U_+ \right\} + S_y \left\{ (\bar{h} + \bar{z}_+) V \right\} = 0$$
 --- (4.2)

$$S_{j+\frac{1}{2}} V + \bar{U}_+ S_x V + V_+ S_y V + f \bar{U}_+ + g S_y z_+ + g V \frac{(\bar{U}_+^2 + V^2)^{\frac{1}{2}}}{(\bar{h} + \bar{z}_+) (\bar{C})^2} = 0$$
 --- (4.3)

(4.1) は $j+\frac{1}{2}, k, n$ に、(4.2) は j, k, n に、(4.3) は $j, k+\frac{1}{2}, n$ に着目している。

後半. $S_{j+\frac{1}{2}} V + \bar{U}_+ \bar{S}_x V + V_+ \bar{S}_y V + f \bar{U}_+ + g S_y z_+ + g V \frac{(\bar{U}_+^2 + V^2)^{\frac{1}{2}}}{(\bar{h} + \bar{z}_+) (\bar{C})^2} = 0$ --- (4.4)

$$S_{j+\frac{1}{2}} z_+ + S_x \left\{ (\bar{h} + \bar{z}_+) U \right\} + S_y \left\{ (\bar{h} + \bar{z}_+) V \right\} = 0$$
 --- (4.5)

$$S_{j+\frac{1}{2}} U + U_+ \bar{S}_x U + \bar{V}_+ \bar{S}_y U - f \bar{V}_+ + g S_x z_+ + g U \frac{(U^2 + \bar{V}_+^2)^{\frac{1}{2}}}{(\bar{h} + \bar{z}_+) (\bar{C})^2} = 0$$
 --- (4.6)

(4.4) は $j, k+\frac{1}{2}, n+\frac{1}{2}$, (4.5) は $j, k, n+\frac{1}{2}$, (4.6) は $j+\frac{1}{2}, k, n+\frac{1}{2}$ に着目している。

注意. 単位時間あたりの流量 Q_R の河川が格子点 ($\Delta x, \Delta y$) の近傍において湾内に流入している時、

(4.2), (4.5) の右辺は 0 ではなく、 $\frac{Q_R}{\Delta x \Delta y}$ とする。

4-2. CODモデル

前半. $S_{j+\frac{1}{2}} \left[P(\bar{h} + z_+) \right] + S_x \left\{ (\bar{h} + \bar{z}_+) U_+ \bar{P}_+ \right\} + S_y \left\{ (\bar{h} + \bar{z}_+) V \bar{P}_+ \right\} - S_x \left\{ (\bar{h} + \bar{z}_+) D_x + S_x P_+ \right\} - S_y \left\{ (\bar{h} + \bar{z}_+) D_y + S_y P_+ \right\} + (\bar{h} + \bar{z}_+) K P^{\frac{1}{2}} + (\bar{h} + \bar{z}_+) S = 0$ --- (4.7)

ただし $K = \mu (P_{j, k}^n)^2 - \lambda$ 。(4.7) は j, k, n に着目している。

後半. $S_{j+\frac{1}{2}} \left[P(\bar{h} + z_+) \right] + S_x \left\{ (\bar{h} + \bar{z}_+) U \bar{P}_+ \right\} + S_y \left\{ (\bar{h} + \bar{z}_+) V \bar{P}_+ \right\}$

$$- S_x \left\{ (\bar{h} + \bar{z}_+) D_x + S_x P_+ \right\} - S_y \left\{ (\bar{h} + \bar{z}_+) D_y + S_y P_+ \right\} + (\bar{h} + \bar{z}_+) K P^{\frac{1}{2}} + (\bar{h} + \bar{z}_+) S = 0$$
 --- (4.8)

ただし $K = \mu (P_{j, k}^n)^2 - \lambda$ 。(4.8) は $j, k, n+\frac{1}{2}$ に着目している。

注意. (4.7) の第2項の \bar{P}_+ , 第3項の $\bar{P}_+^{\frac{1}{2}}$ ならびに (4.8) の第2項の \bar{P}_+ , 第3項の $\bar{P}_+^{\frac{1}{2}}$ は平均をとらずに流れの上流側の値を使っている。河川からの負荷量は河川の平水量と COD濃度から算出する。

5. Input Data 5), 6), 7), 8), 13)

図-2.1は文献6)から引用した三河湾・知多湾の地形図で同時に等深線(最低低潮面)と4か所の潮流横円比較地点が示されている。我々は衣浦港入口の防波堤を考慮し潮流計算では衣浦港以北を陸地とみなした。ただし拡散計算では防波堤の切れ目の部分を考慮し一部分開境界とした。また伊良湖付近と師崎付近を“く”の字で結び開境界とした。

図-3.1はZ, Pの計算される格子点を上で示している。MはX軸方向の格子点番号で(1~49), NはY軸方向の格子点番号(1~30)を表わす。図-2.1を時計回りに90°回転させたものが図-3.1に対応する。M=48, N=24の点が豊川の流入点、M=8, N=29の点が矢作川の流入点である。またM=16, N=18ならびにM=17, N=17の2点は佐久島を示しM=12, N=15の点は日間賀島、M=12, N=11の点は猿島を示す。前述したようにN=29, M=4.5の2点は拡散計算の時には開境界とみなされる。

以後特に断わらなければM.K.S.単位とする。

$$\Delta X = 1000 \times \frac{152}{200}, \quad \Delta Y = 1000 \times \frac{183}{200} \quad \Delta t = 180.0,$$

$$\psi = (34 + \frac{44}{60})^\circ, \quad C = 61.4, \quad g = 9.81,$$

$$D_x = D_y = 1.0, \quad \lambda = \mu \times (1.5)^2 \text{ day}^{-1}, \quad \mu = 0.025 \text{ day}^{-1}$$

開境界における潮位は半日周M₂潮を与える。

開境界点	振幅	遅角	COD (PPM)
N=29, M=4, 5の2点	△△	△△	1.4
N=13, 14, M=7の2点	0.55	179.0°	0.7
N=10, M=4の点	0.54	180.0°	0.7
N=1, M=13の点	0.53	183.0°	0.7

その他の開境界点については線型補間で与える。

	平水量 (m ³ /s)	COD (PPM)
矢作川	36.1	7.3
豊川	15.0	3.5

6. 計算結果とその検討

図-5.1は文献6)の潮流横円の実測結果(—)と計算結果(○○)の比較図に我々の計算結果(×)を加えた図である。左肩の番号は図-2.1の比較地点の番号を示す。これを見ると我々の計算結果は和田、宮池の結果と同様に実測結果とおおむね良好な一致を示している。

潮流の6周期目(1241 step ~ 1488 step)の計算結果:

図-6.6(1364 step), 図-6.5(1488 step)をそれぞれ図-2.6, 図-2.5の実測結果と比較すればこれも良好な一致を示している。

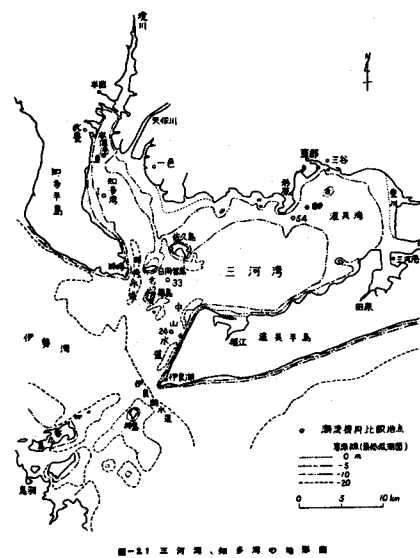


図-2.1 三河湾、知多湾の地形図

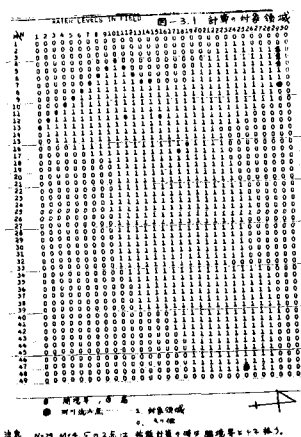
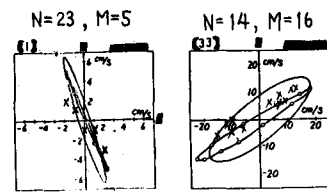
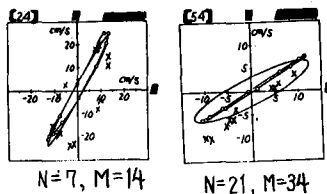


図-3.1 計算格子構成



N=23, M=5

N=14, M=16



N=7, M=14

N=21, M=34

図-5.1 潮流横円比較図

- : 実測結果
- : 和田、宮池の計算結果
- × : 我々の計算結果

図-6.5 (STEP= 1488)

計算結果の流況図

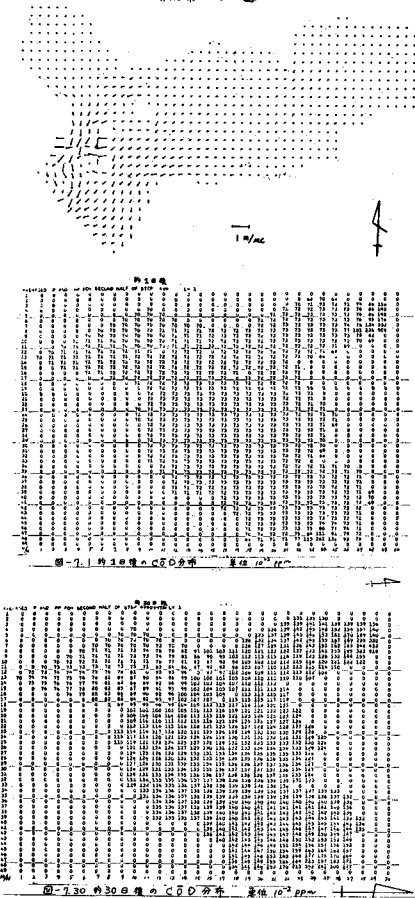
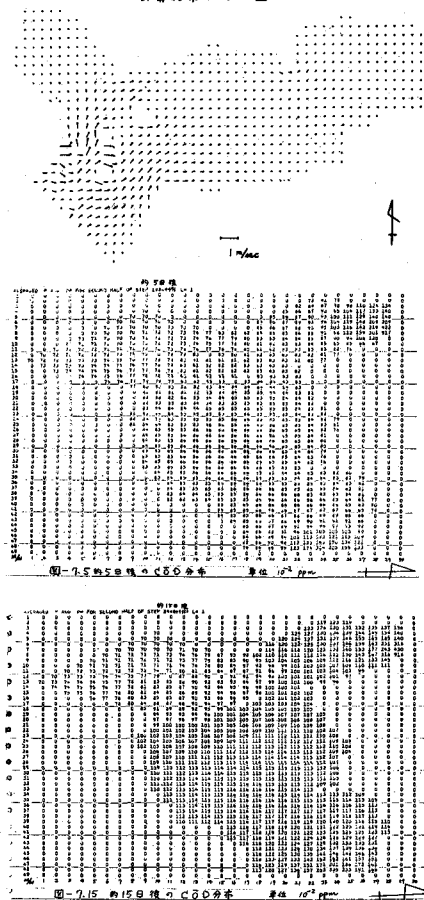


図-6.6 (STEP= 1364)

計算結果の流況図



潮汐流の6周期目の結果をくり返し使って COD分布を 60周期(約1か月)まで計算した。図-7.1は約1日後、図-7.5は約5日後、図-7.15は約15日後、図-7.30は約30日後のCOD分布を示す。^{*)}図-7.15と図-4.9を比較してみると十数日でほぼ現状に近い状態を回復することがわかる。なお計算機はFACOM 230-55ですべて倍精度計算。潮汐流の計算は6周期行なうのに C.P.U. 約1時間、COD分布は60周期までに約9時間を要した。^{*)}図の見方は図-3.1と同様である。

7. おわりに

この数値実験によりはじめに述べた二つの問題に対して 大まかではあるが 定量的な情報を得た。COD分布に関しては 観測結果も一概でないよう 多くの困難な問題点がある。我々は 大胆にも COD分布が(3.4)式で表現されうるという立場をとった。仮にこれを認めたとしても 実際には 入や出は時間的にも空間的にも変化するはずである。河川からの負荷量も時間的に変化しているはずである。しかし 我々は 強引にも入や出の空間的変化を無視し 現在のCOD分布に対して もっともらしいル、ル、Sを導んで しばらくの間は これらは時間的にも不变であるとした。これだけの仮定のもとに 外海の濃度と同じ値を空間的に一様な初期値とした場合(これは現状に対する擾動である。)十数日で ほぼ現状に近い状態を回復するという結論を得た。非常にあらわい結論ではあるが 意味するところは重大なように思われる。

有機性汚濁をより詳細に論じようとするならば 物質の循環をはっきり組みこんだ closed system で考える必要がある。CODモデルは そのための第一歩として とらえたい。このように 現象の定式化はそれ自身

困難な問題であるが、一たん 定式化を認めたらとしても それを解くことも容易でない。ここで採用した ADI 法は 陰解法であるために 時間がかかりすぎる。境界条件の入力方も研究の余地がある。これらの点を考慮すると 空間有限要素近似、時間陽差分近似の計算法が この方面的計算法として注目を集めようと思われる。

8. 謝辞

この報告書をまとめるにあたり 大きな恩恵を蒙った多くの人々のお世話をいたしました。特に電力中央研究所の和田明氏は 文献(1)の一報転載を許可されたうえに 種々の貴重な助言をされた。また京都大学の野木達夫、甲南大学の三村昌泰の両氏からも 多くの助言と批判をうけた。これら各位に対し深く感謝の意を表したい。多くの同僚、上司からも 指導を受けた。高森照子、駄原房子の両様、大塚敬主査の名をあげて おわりとしたい。

9. 参考文献

- 1) 金山 寛: 湾流と汚染拡散を記述する偏微分方程式系を解くアルゴリズム
変形・流動方程式の数値解析 昭和51年3月
- 2) J.J. Dronkers : Tidal Computations in Rivers and Coastal Waters
North - Holland Publishing Co. 1964
- 3) J.J. Leendertse : Aspects of a Computational Model for Long-Period Water-Wave Propagation
RAND RM-5294-PR 1967
- 4) _____ : A Water-Quality Simulation Model for Well-Mixed Estuaries and Coastal Seas:
Vol. I, II RAND RM-6230-RC 1970, RAND R-708-NYC 1971
- 5) 日本海洋開発産業協会: 汚染海域浄化システムの設計研究 —— 汚濁負荷分析システム報告書 1975
- 6) 和田明, 宮池克人: 吹送流による湾内水の流動・拡散の特性
電力中央研究所報告 研究報告: 375009 1976.2
- 7) 丸山泰男: 河川による三河湾への汚濁負荷量について
Jap. J. Limnol. 35, 4, 148-154, 1974
- 8) 村上 健: 海域における有機性汚濁の計算手法
土木技術資料 17-9 1975
- 9) 西條八束: 内湾の富栄養化 — 三河湾の場合 —
用水と廃水 Vol. 15 No. 1 1973
- 10) 三村昌泰: 拡散効果をもつボルテラ方程式について
数理科学講究録 174 1973.3
- 11) 須藤隆一, 森 忠洋, 岡田光正: 藻類培養試験による富栄養化の評価
用水と廃水 Vol. 15 No. 1 1973
- 12) 龜高惟倫: 非線型拡散方程式について
数学 第26巻 第2号 1974.4
- 13) 金子安雄, 坂江毅, 村上和男: A DI 法による潮流と汚染拡散の数値計算 — 大阪湾に適用した場合について
港湾技術研究所報告 Vol. 14, No. 1 1975